

FIG. 1

4610221 912888680

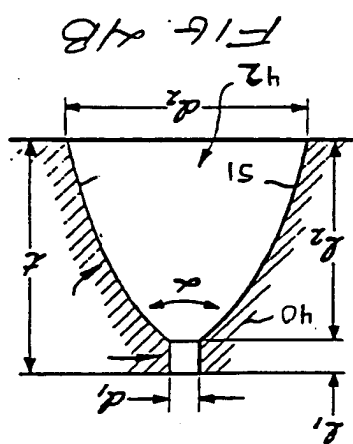
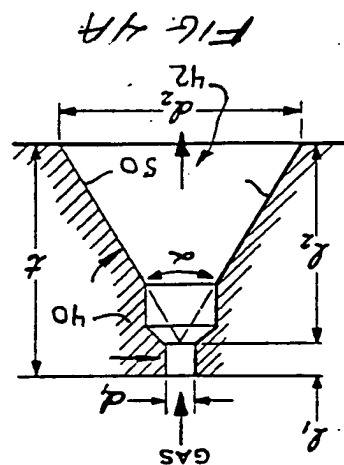
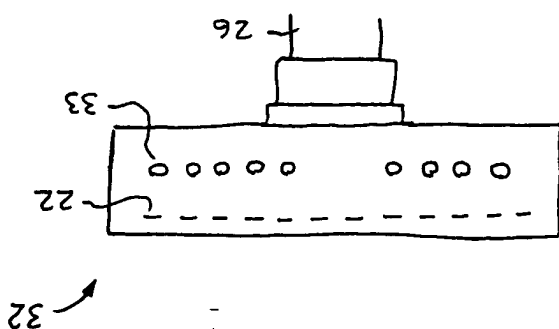


FIG. 2



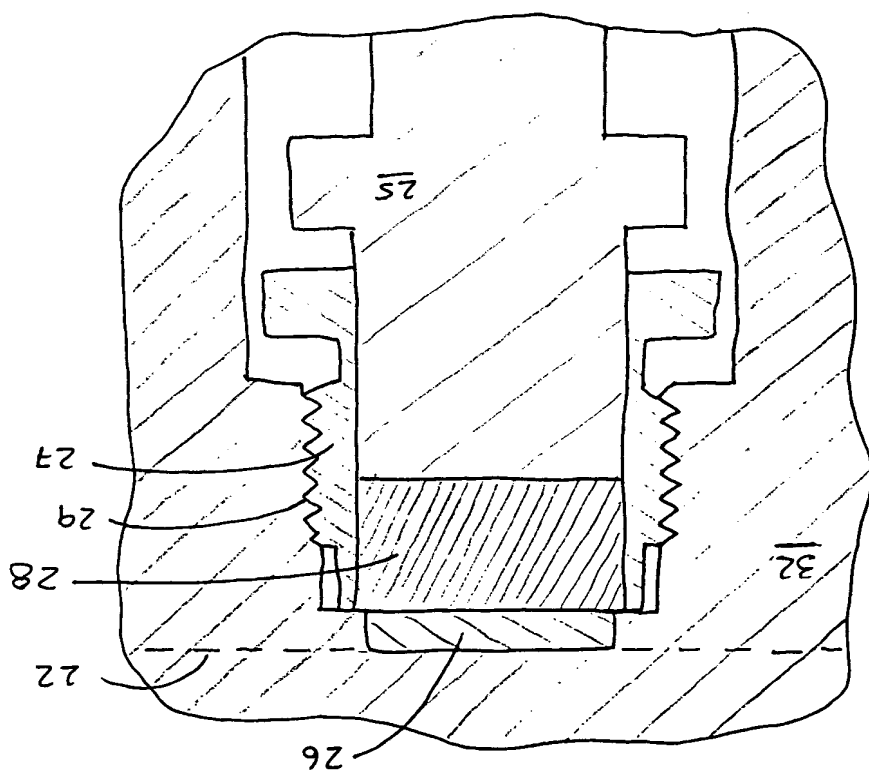


FIG. 3

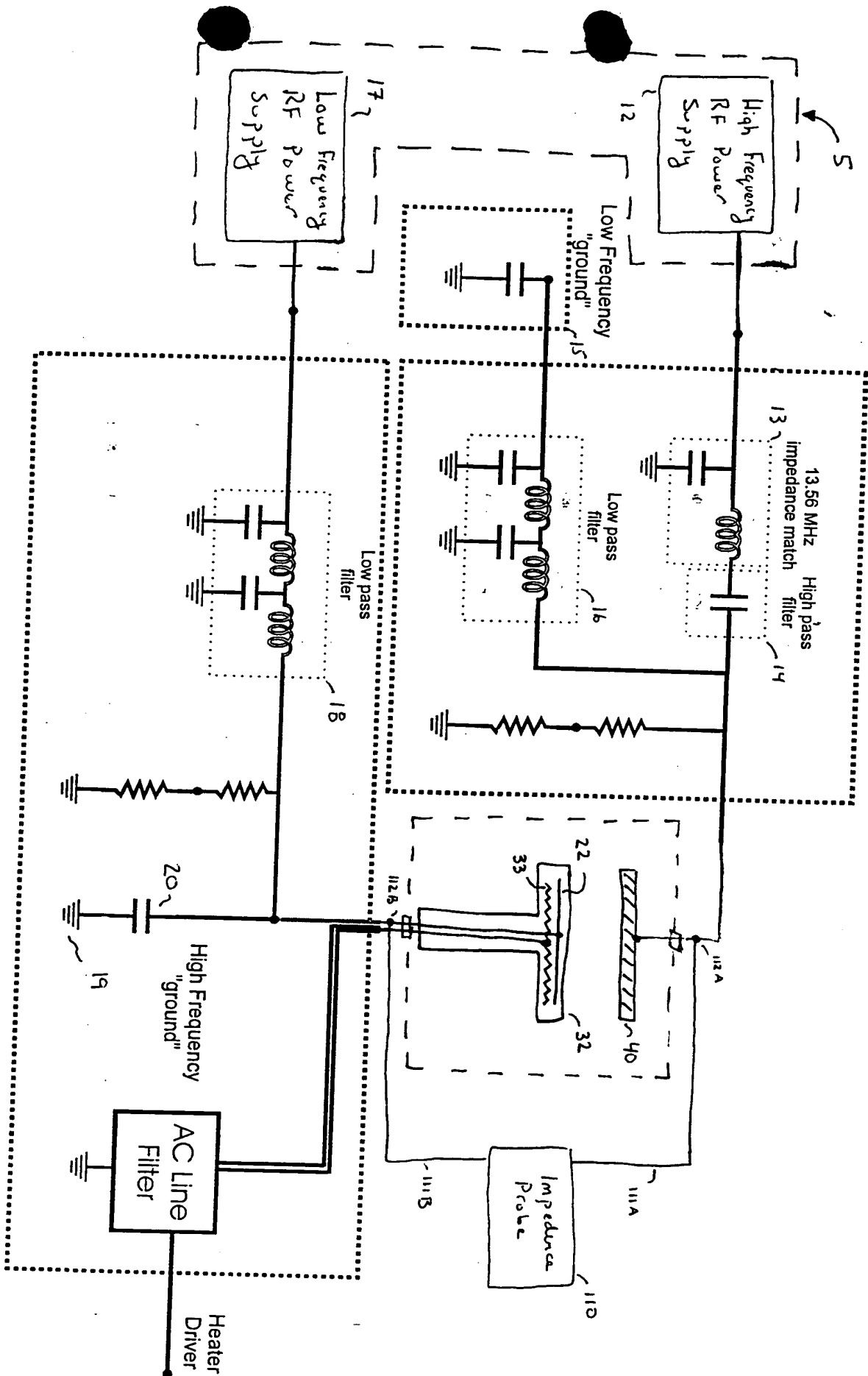


FIG. 5

Fig. 6

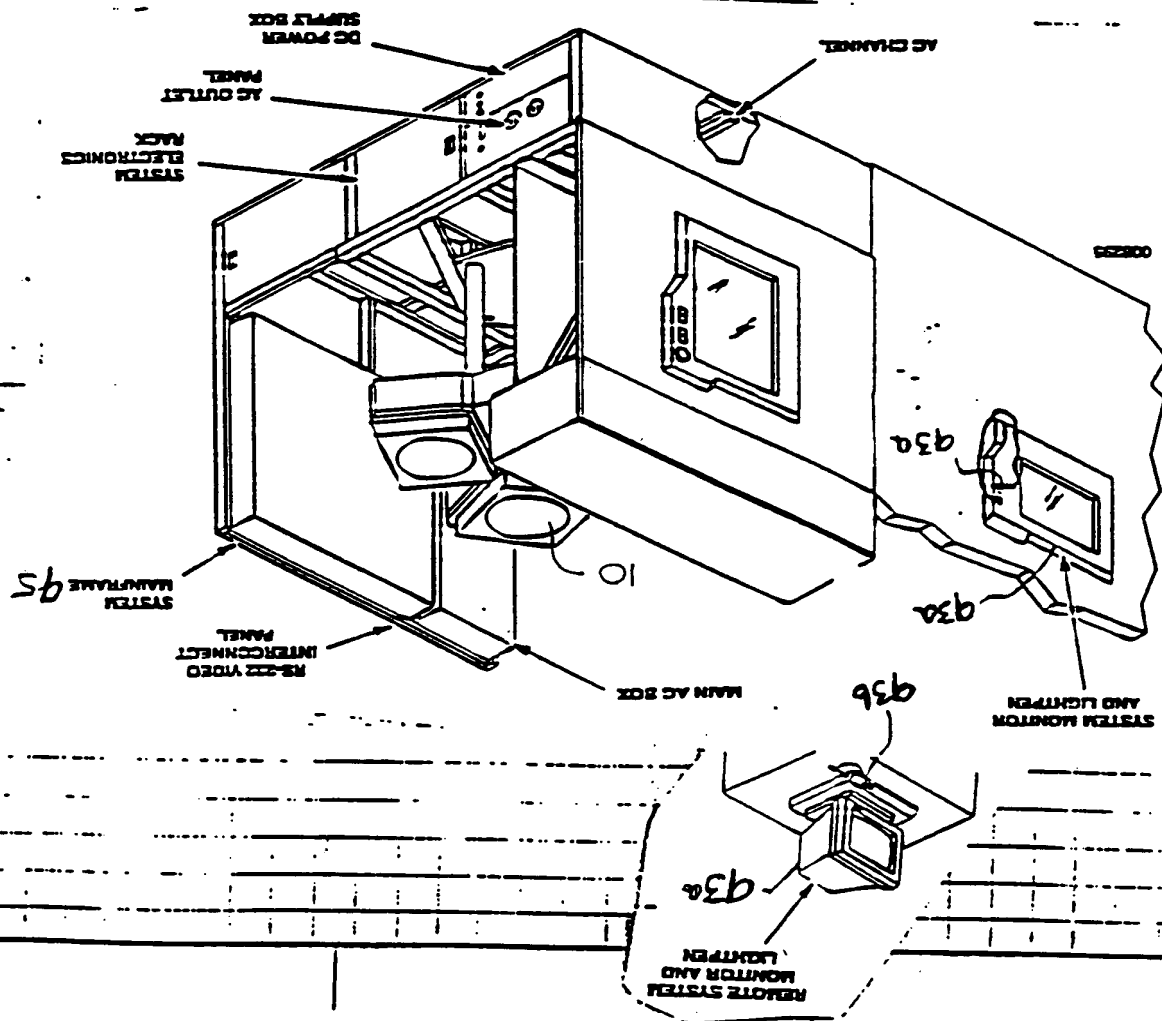
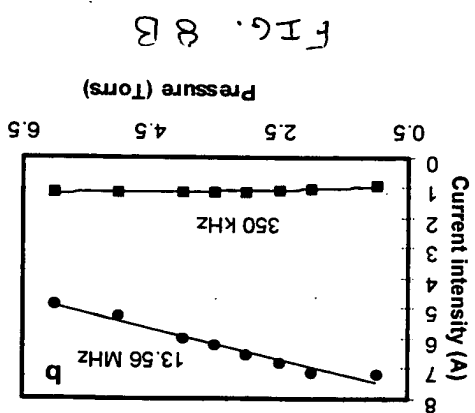
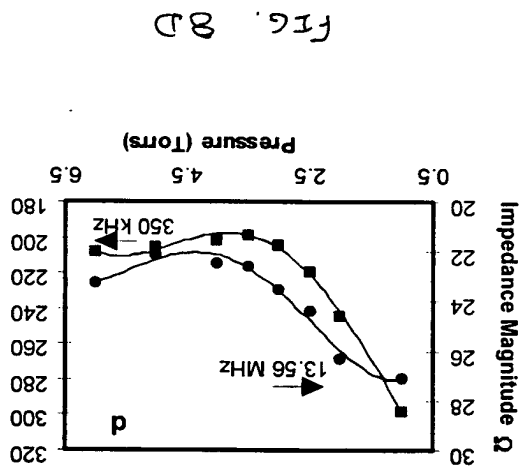
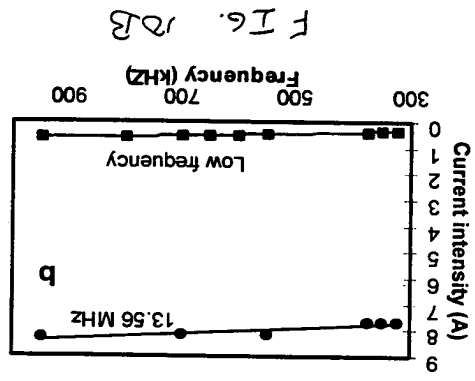
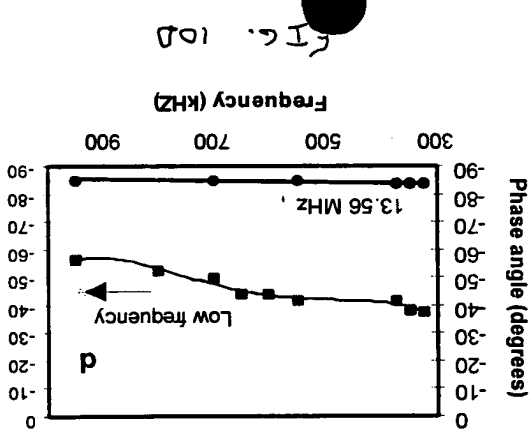
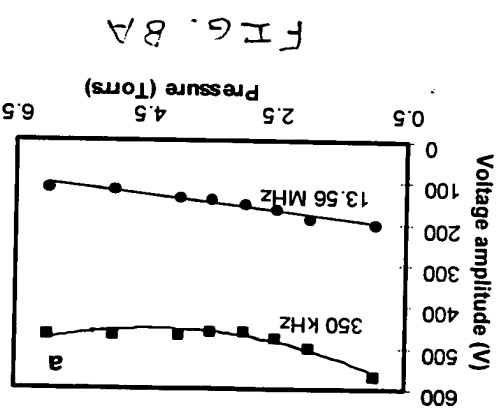
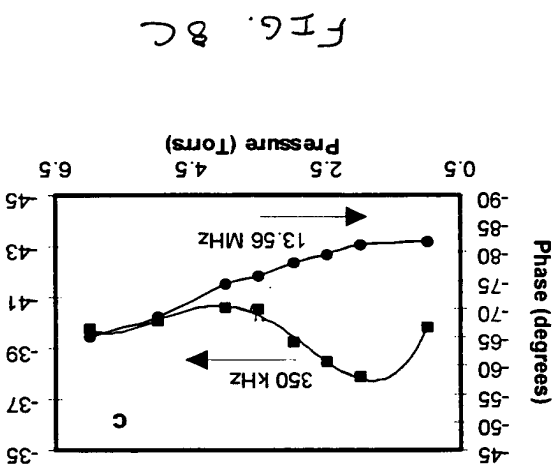
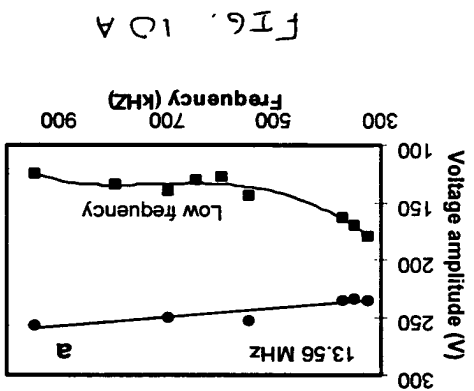
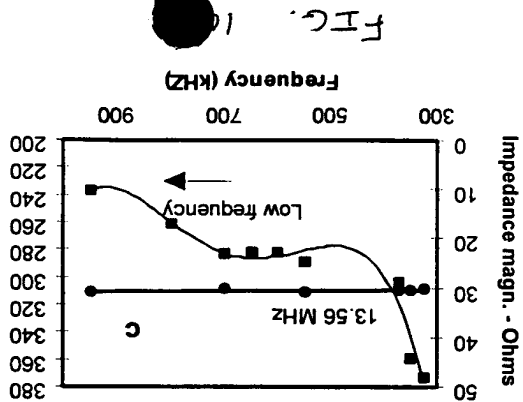




Fig. 7

67027 94288680



467027 31228690

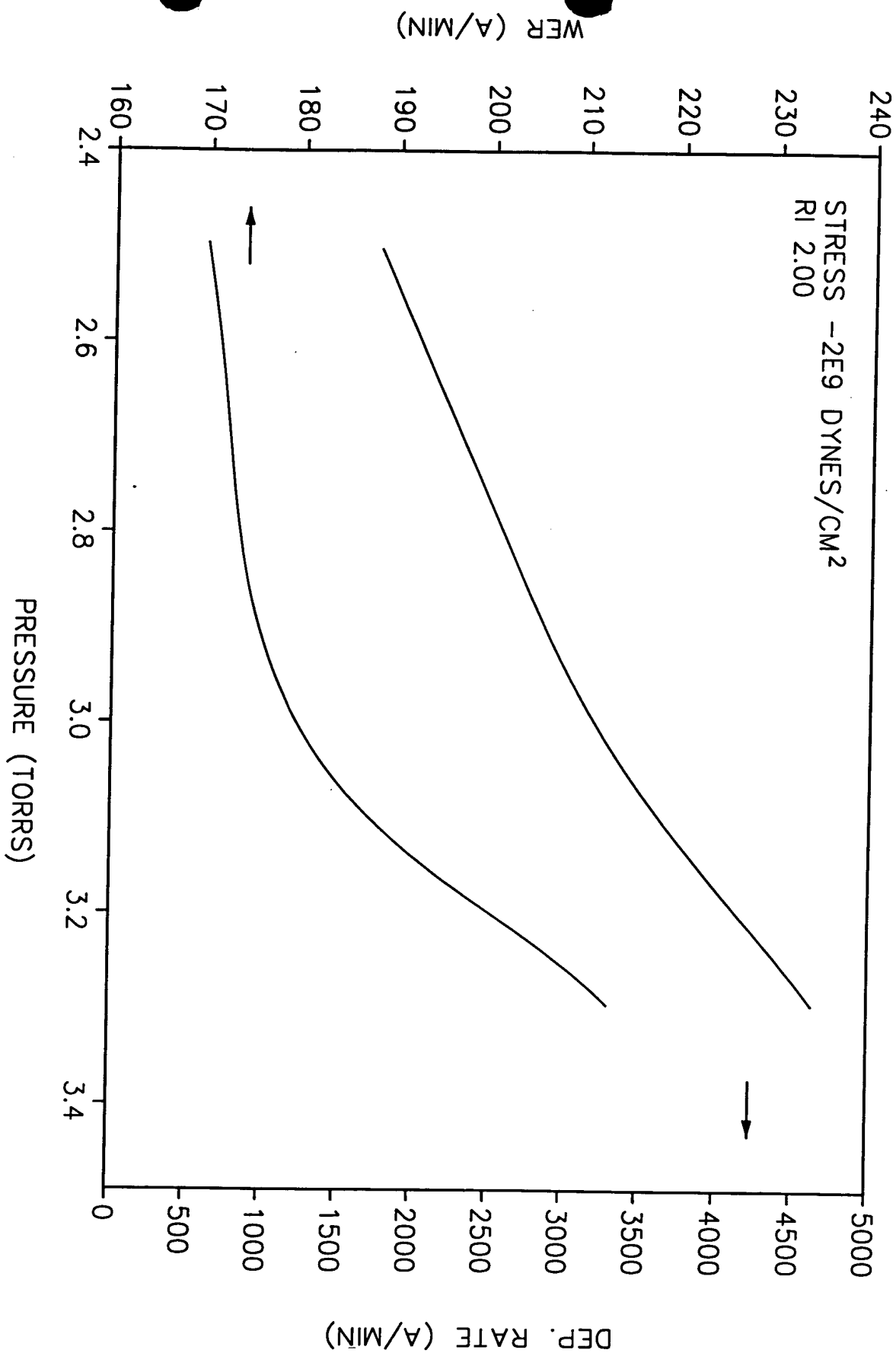


FIG. 9



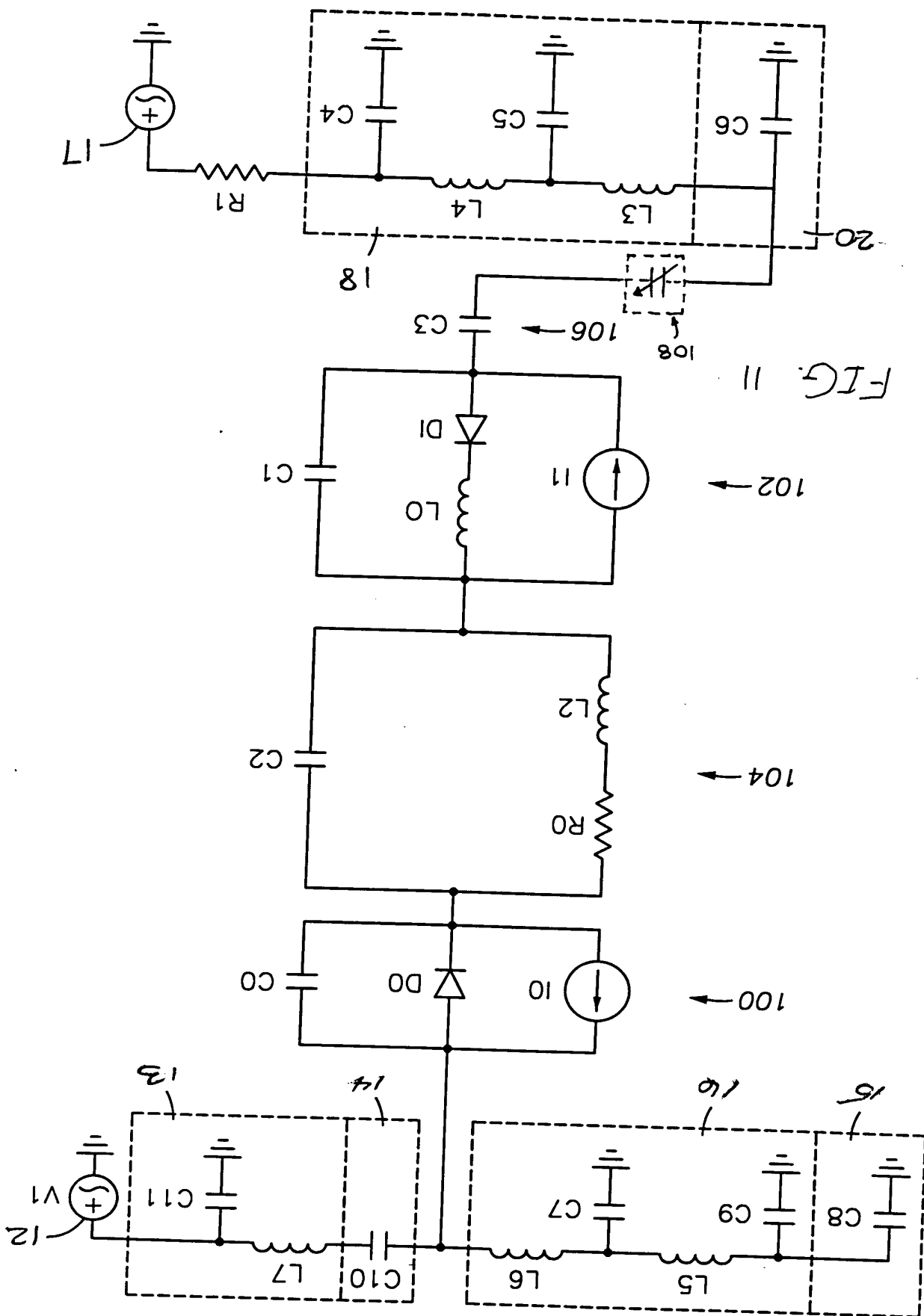


FIG. 11



Stress variation

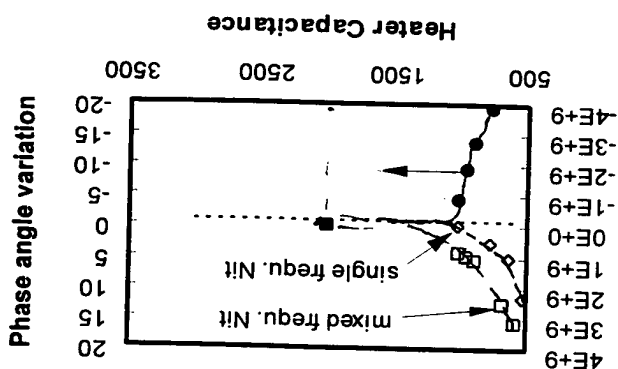


FIG. 14

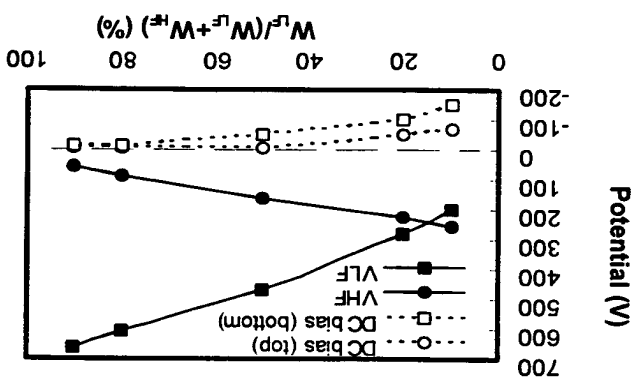


FIG. 15

FIG. 13

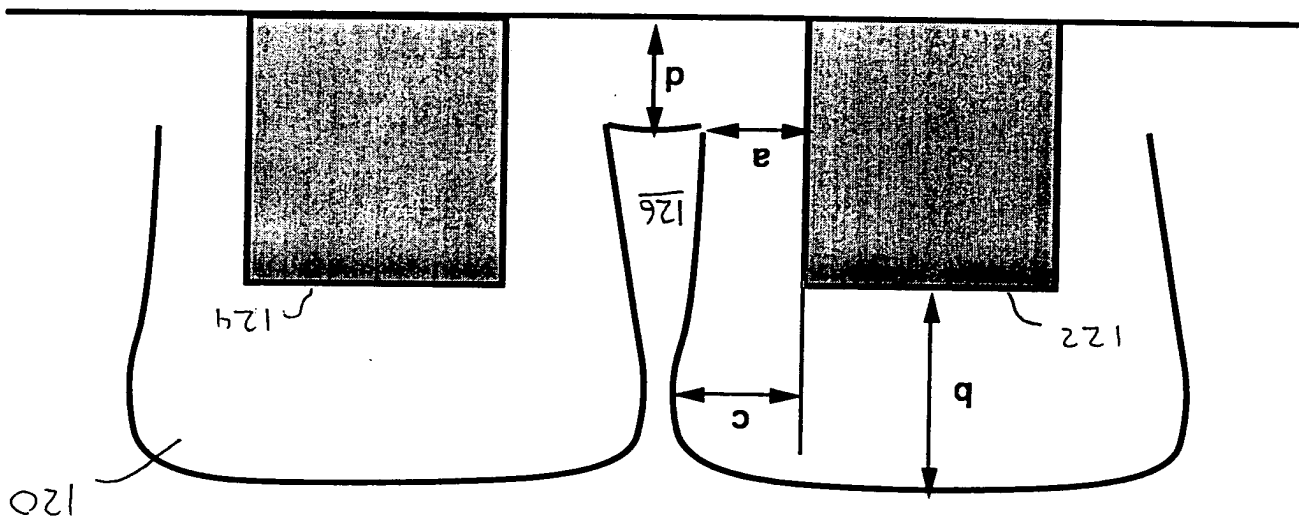


FIG. 12A

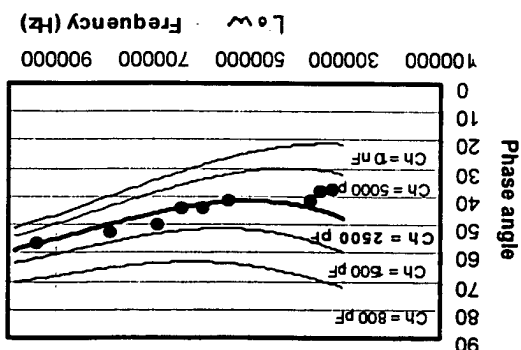
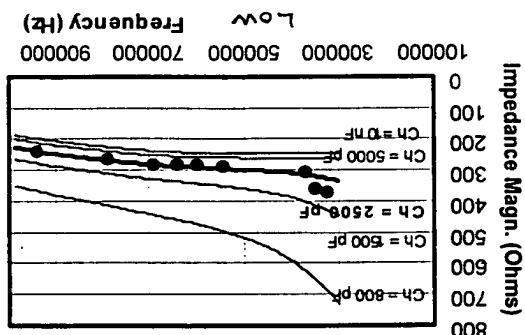


FIG. 12B



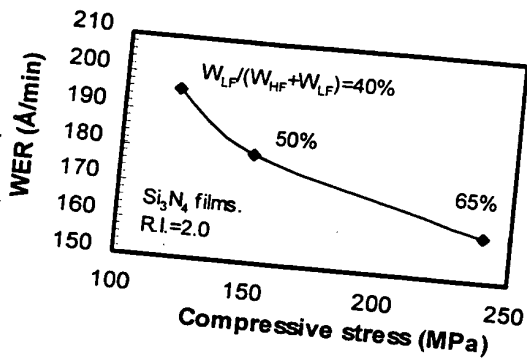


FIG. 16

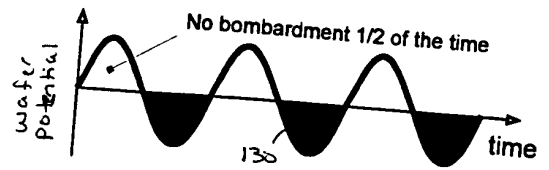


FIG. 17A

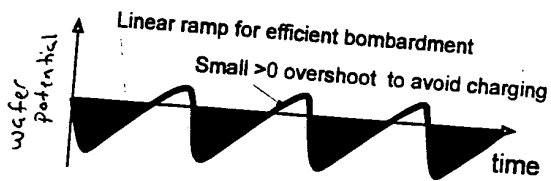


FIG. 17B

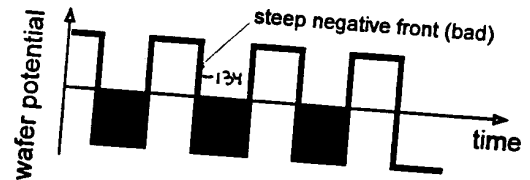


FIG. 17D

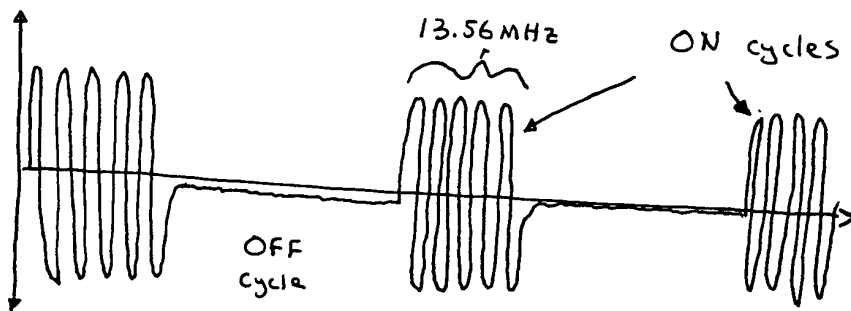
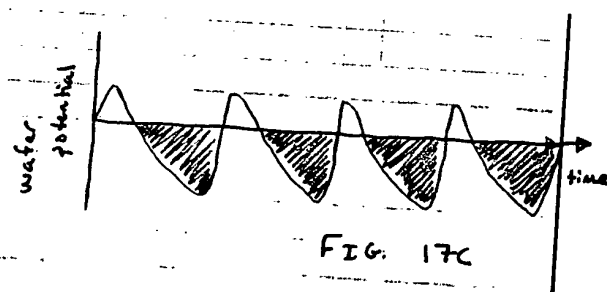


Fig. 18



46F02 94288680